



## کانی شناسی، ژئوشیمی و جایگاه زمین ساختی سنگ های آتشفسانی در توالی آتشفسانی-رسوبی جنوب زنجان

مهین هاشمی<sup>\*</sup>، علی حاجی ابوالفتح

دانشکده علوم، گروه زمین شناسی، دانشگاه زنجان

(دریافت مقاله: ۹۵/۱۱/۱۶، نسخه نهایی: ۹۶/۳/۳۰)

چکیده: منطقه‌ی مورد بررسی از بخشی از سازند کرج در جنوب شهرستان زنجان بوده و در پهنه ایران مرکزی قرار دارد. مجموعه سنگ‌های موجود در منطقه شامل انواع آذرآواری، آذرین و رسوبی می‌باشند. سنگ‌های آذرین منطقه در دو دسته کلی اسیدی (ریولیت و ریوداسیت) و بازی (آنذیزیت بازالتی) قرار می‌گیرند. مقطع سهله به لحاظ سنگ‌شناسی می‌تواند معادل بخش‌های شیل‌پایینی و توف‌میانی سازند کرج در مقطع این نوع است ولی از نظر سنگ‌شناسی با بخش کردکند (نوع واحدهای رسوبی و واحدهای آذرآواری و حجم گدازه‌های آندزیتی و آندزیزیت بازالتی) تفاوت دارد. عدد منیزیم پایین و مقادیر پایین Cr, MgO و Ni در نمونه‌های آذرین (آنذیزیت بازالت، ریولیت و ریوداسیت) نشان دهنده منشأ گرفتن این سنگ‌ها از یک مagma می‌تواند یافته است. محیط زمین ساختی سنگ‌های منطقه وابسته به فرروانش و از نوع کمان قاره‌ای است. magma مولد سنگ‌های منطقه احتمالاً یک magma تحول یافته است که از ذوب گوه گوشته‌ای متاسوماتیسم شده توسط سیالات آبکی ناشی از لیتوسفر در حال فرروانش، بوجود آمده است.

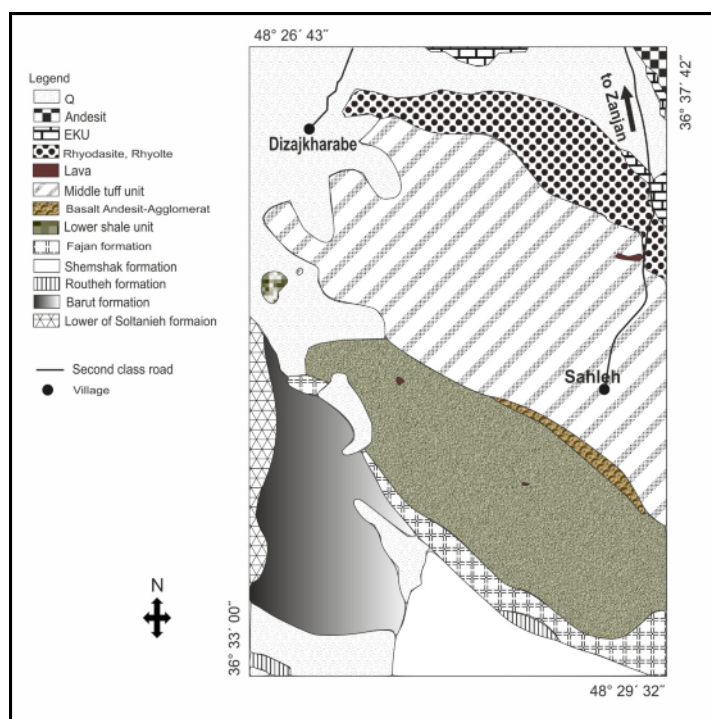
واژه‌های کلیدی: ژئوشیمی؛ توالی آتشفسانی-رسوبی؛ فرروانش؛ سازند کرج؛ جنوب زنجان.

سنگ‌های آتشفسانی اؤسن منطقه چال بادامستان طارم علیا در استان زنجان، شکل‌گیری سازند کرج را ناشی از عملکرد فاز کششی پشت قوس آتشفسانی حاشیه قاره‌ها بعد از کوه‌زایی کرتاسه- پالئوسن می‌دانند [۳]. بررسی‌های صورت گرفته در این توالی بیشتر روی بخش شمالی مرکز شده است و بخش جنوبی منطقه (در زیر زنجان‌رود)، تاکنون کمتر مورد توجه قرار گرفته است. بطوریکه در مورد ارتباط آن با سازند کرج در مقطع تیپ، سنگ‌شناسی سنگ‌های آذرآواری و آذرین، خصوصیات ژئوشیمیابی سنگ‌های آذرین و محیط زمین ساختی تشکیل آن بررسی‌های چندانی انجام نگرفته است. از این رو در این مقاله سعی شده است تا با بررسی سنگ‌نگاری و ژئوشیمیابی این سنگ‌ها، تلاش بیشتری برای شناخت ماهیت ژئوشیمیابی و خاستگاه زمین ساختی این منطقه صورت گیرند.

### مقدمه

توالی آتشفسانی- رسوبی اطراف روستای سهله بنابر نقشه‌ی ۱:۱۰۰۰۰ زمین‌شناسی زنجان [۱] در بخش جنوب شهرستان زنجان و در محدوده طول‌های جغرافیایی "۴۸°۳۰'۰۰"- "۴۸°۲۶'۴۸" شرقی و عرض‌های جغرافیایی "۳۶°۳۶'۰۰"- "۳۶°۳۲'۱۸" شمالی قرار دارد (شکل ۱).

توالی آتشفسانی-رسوبی رخمنون یافته در منطقه زنجان با روند کلی شمال‌غرب-جنوب‌شرق، بیشتر در دو بخش شمالی کوه‌های طارم و جنوبی یال شمالی کوه‌های سلطانیه گسترش دارد. نوار آتشفسانی-پلوتونیک البرز غربی و منطقه طارم را ناشی از magma ماتیسم پسا برخورد صفحه عربی به ایران در کرتاسه بالای و در یک محیط کمانی پسا برخوردی که در اؤسن- الیگوسن شکل گرفته، می‌دانند [۲]. بر اساس بررسی



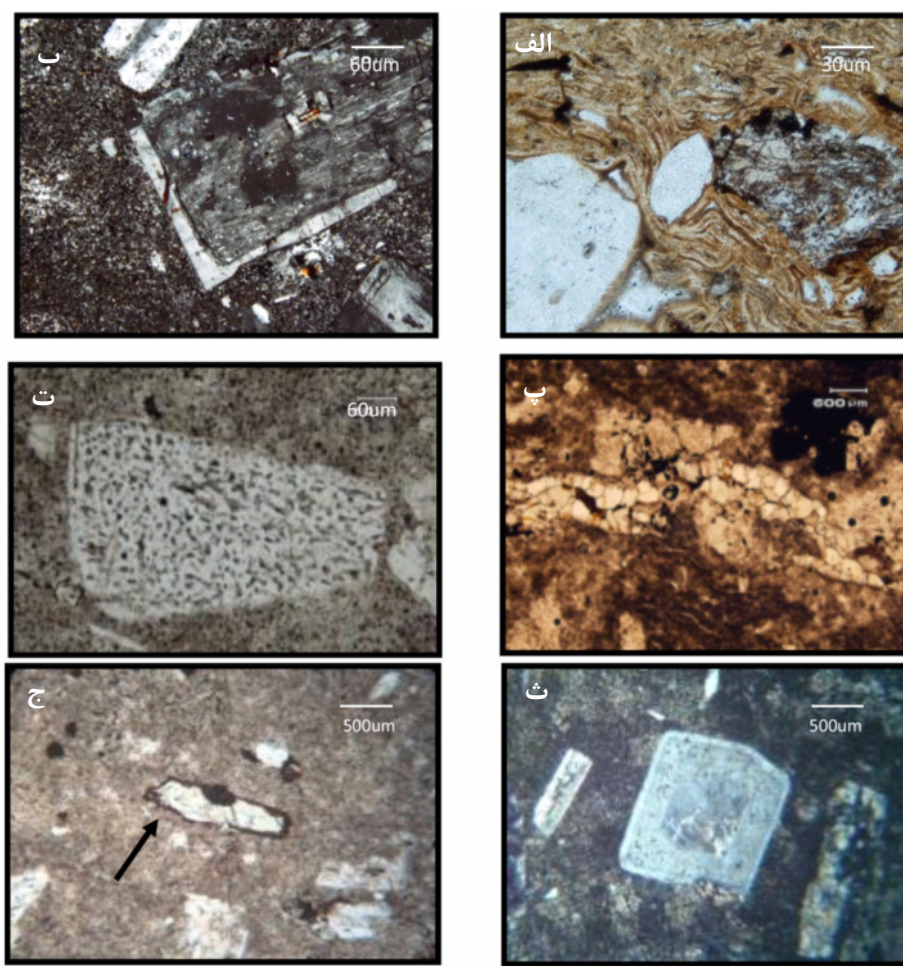
شکل ۱ بخشی از نقشه زمین‌شناسی ۱:۱۰۰۰۰۰ منطقه مورد مطالعه در جنوب زنجان [۶].

رسوبی و آذرآواری است که شاخص بخش شیل‌پایینی سازند کرج در مقطع آن تیپ است و می‌توان آن را معادل شیل‌پایینی سازند کرج در مقطع تیپ در نظر گرفت. روی این بخش از رخساره آگلومرا و لایلی توف جوش خورده و گدازه آندزیت - بازالت قرار دارد. این گدازه و رخساره، مرز بین واحد زیرین و بالایی هستند. در ادامه‌ی مقطع، حجم مواد آذرآواری افزایش می‌یابد، بطوریکه مقادیر زیادی از انواع مختلف توف با میان‌لایه‌هایی از شیل، ماسه‌سنگ و سیلتستون سنگ‌شناسی غالب را تشکیل می‌دهند. ضخامت واقعی این بخش از برش حدود ۱۵۶۶ متر است. این ویژگی نیز در بخش توف میانی سازند کرج و در مقطع تیپ وجود دارد. بر این اساس، این بخش از برش می‌تواند معادل بخش توف‌میانی مقطع سازند کرج قرار داده شود.

در بالاترین قسمت این بخش توفی، لایه‌ای ایگنیمیریتی با ضخامت تقریبی ۴۸ متر رخنمون دارد که روی آن واحدهای با ترکیب ریولیت و ریوداسیت با ستبرای حدود ۳۶۰ متر قرار دارد. در مجموع توالی آتشفسانی-رسوبی جنوب زنجان ضخامتی واقعی بالغ بر ۲۹۰۰ متر داشته و از سنگ‌های آذرآواری، رسوبی و به مقدار کمتر سنگ‌های آذرین تشکیل شده است (شکل ۲).

**زمین‌شناسی عمومی**  
منطقه مورد بررسی در جنوب زنجان وابسته به پهنه ایران مرکزی است [۴]. این مجموعه‌ی آتشفسانی-رسوبی که به علت نزدیکی به روستای سهله مجموعه آتشفسانی-رسوبی سهله نام گرفته است [۵] در ۸ کیلومتری جنوب زنجان واقع شده و بخشی از نقشه‌ی زمین‌شناسی ۱:۱۰۰۰۰۰ زنجان [۱] را تشکیل داده است. در نقشه‌ی یاد شده سنگ‌های منطقه تحت عنوان بخش تفکیک نشده سازند کرج یا بخش پایین سازند کرج که بالای آن نواری از گدازه آندزیتی پرفیری قرار گرفته، معرفی شده است. اؤسن در این منطقه عموماً با کنگلومرا سرخ فجن آغاز شده است. حد بالای تشکیلات اؤسن در منطقه زنجان را کنگلومرا سرخ نفوذن تشکیل می‌دهد که به صورت دگرشیب روی واحدهای اؤسن قرار دارد.

سازند کرج در برش سهله پس از کنگلومرا و ماسه‌سنگ سرخ فجن با لایه‌هایی از سیلتستون و شیل آغاز می‌شود. این لایه‌ها که ضخامت زیادی دارند به تدریج به سمت بالا بر مقدار آذرآواری آن‌ها افزوده می‌شود و به تناوبی از واحدهای رسوبی، به ویژه شیل و سیلتستون و آذرآواری تبدیل می‌شوند. این بخش از برش که ضخامت واقعی آن برابر ۹۷۴ متر است، سنگ‌شناسی آن بین واحدهای رسوبی و آذرآواری در تغییر است. با توجه به این تناوب سنگ‌شناسی متشكل از واحدهای



شکل ۲ (الف) بافت اوتاکسیتیک در ایگنیمبریت (XPL)، (ب) منطقه‌بندی ترکیبی پلازیوکلاز در ریولیت (XPL)، (پ) رگه کواتری در ریوداسیت (PPL)، (ت) بافت غربالی در ریوداسیت (PPL)، (ث) پلازیوکلاز با بافت غربالی و منطقه‌بندی ترکیبی در ریوداسیت (XPL)، (ج) آمفیبول اپاسیتی شده در ریوداسیت (PPL).

واقعی آن در مقطع سهله ۴۸ متر است، در نقشه ۱:۱۰۰۰۰۰ واقعی آن در مقطع سهله ۴۸ متر است، در نقشه ۱:۱۰۰۰۰ زنجان [۱] آندزیت معرفی شده‌اند. با توجه شواهد صحرایی و بررسی‌های سنگنگاری و ژئوشیمیابی بخش زیرین این واحد از نوع پیروکلاستیکی است و بخش بالایی این واحد دارای دو گروه سنگی با ترکیب ریولیت و ریوداسیت است. این واحد نسبت به آندزیت بازالت‌ها حجم و گسترش بیشتری دارد و شیب و امتداد آن از شیب و امتداد کلی منطقه پیروی می‌کند. ریولیت: در نمونه دستی رنگ سرخ تا ارغوانی دارند. این گروه دارای نوارهایی (فیام) هستند که با چشم غیر مسلح نیز دیده می‌شوند این فیام‌ها در واقع از حباب‌های کشیده و طویل شده می‌باشند که غالباً به وسیله‌ی کانی‌های ثانویه کوارتز و فلدرسپار پر شده‌اند.

**روش پژوهش**  
برای انجام بررسی‌های کانی‌شناسی و سنگنگاری تعداد ۱۴۰ نمونه از سراسر مقطع برداشت شدند که از بین نمونه‌های آذرین و آذرآواری بیش از ۲۰ مقطع نازک تهیه و بررسی شدند و سپس ۱۲ نمونه از این سنگ‌ها برای شناسایی کانی‌ها به روش پراش پرتو ایکس (XRD) به شرکت کانسaran بینالود فرستاده شد.

برای بررسی ژئوشیمیابی تعداد ۸ نمونه از آندزیت‌بازالت‌ها، نمونه‌های ریولیتی و ریوداسیتی برای آنالیز شیمیابی به روش فلورسانی پرتو ایکس (XRF) به شرکت کانسaran بینالود فرستاده شدند که نتایج آن در جدول ۱ ارائه شده‌اند.

**سنگنگاری**  
واحد ایگنیمبریت به همراه ریولیت و ریوداسیت که ضخامت

جدول ۱ نتایج تجزیه شیمیایی سنگ‌های آندزیت بازالت و ریولیت و ریوداسیت در سهله به روشن XRF، عناصر اصلی بر حسب درصد و عناصر فرعی بر حسب .ppm

name	آندزیت بازالت				ریوداسیت		ریولیت	
	C26	C2	C1	C27	B1	B2	B3	B4
SiO <sub>2</sub>	۶۰,۶۷	۵۴,۷۷	۶۵,۵۲	۵۳,۵۵	۶۸,۷۳	۶۸,۴۳	۶۸,۰۸	۶۶,۵
TiO <sub>2</sub>	۰,۸۹	۰,۹۷	۰,۹۶	۱,۰۷	۰,۴۶	۰,۴۳	۰,۴۶	۰,۵۷
Al <sub>2</sub> O <sub>3</sub>	۱۳,۶۶	۱۶,۰۶	۱۴,۳۴	۱۹,۴	۱۴,۱۵	۱۴,۱۷	۱۴,۵۴	۱۳,۲۵
Fe <sub>2</sub> O <sub>3</sub> *	۷,۲۵	۹,۳۳	۱۱,۶۴	۸,۲۵	۳,۰۶	۲,۳۴	۲,۰۳	۳,۱۱
MnO	۰,۱۳	۰,۲۷	۰,۱۶	۰,۲۰	۰,۰۶	۰,۰۹	۰,۰۴	۰,۰۶
MgO	۲,۳۷	۳,۷۳	۳,۹۶	۳,۴۵	۰,۵۹	۱,۰۲	۰,۲۵	۰,۴۳
CaO	۷,۲۶	۸,۶۰	۷,۹۲	۹,۴۱	۴,۳۹	۲,۹۰	۳,۳۳	۲,۸۲
Na <sub>2</sub> O	۲,۵۴	۳,۰۵	۲,۹۷	۲,۶۹	۳,۱۳	۲,۲۵	۴,۲۶	۳,۷۰
K <sub>2</sub> O	۰,۸۴	۰,۳۳	۰,۲۷	۰,۲۰	۳,۳۹	۳,۸۵	۴,۳۹	۴,۴۶
P <sub>2</sub> O <sub>5</sub>	۰,۱۶	۰,۲۲	۰,۱۴	۰,۱۵	۰,۲۱	۰,۰۸	۰,۱۳	۰,۱۷
SO <sub>3</sub>	۰,۵۹	۰,۱۷	۰,۰۳	۰,۰۴	۰,۱۵	۰,۰۵	۰,۰۴	۰,۰۴
L.O.I	۲,۲۳	۲,۱۱	۴,۶۵	۰,۹۳	۱,۳۷	۳,۹۶	۲,۰۷	۱,۵۴
Sum	۹۹,۶۹	۹۹,۶۱	۹۹,۶۹	۹۹,۶۱	۹۹,۶۹	۹۹,۵۷	۹۹,۶۲	۹۹,۶۵
Cl (ppm)	۱۷	۱۴	۱۲	۱۵	۲۷	۱۱	۱۹	۲۶
Ba	۴۵۱	۲۵۵	۱۶۵	۳۰۸	۵۲۴	۱۴۵۹	۸۰۷	۱۲۸۰
Rb	۲۸	۱۴	۱۹	۱۲	۱۰۷	۹۰	۹۰	۱۱۲
Sr	۳۶۸	۵۰۲	۵۹۶	۵۱۶	۳۰۹	۱۵۳۰	۱۱۸	۱۸۶
Zr	۱۱۳	۱۲۷	۹۸	۱۲۳	۱۹۵	۵۰۴	۱۷۸	۲۲۱
Nb	۴	۶	۲	۷	۲	۱۰	۲۰	۱۲
Ni	۲۴	۲۳	۲۵	۲۵	۲۲	۲۱	۲۱	۲۳
Co	۱۴	۲۰	۴۵	۱۹	۳	۵	۳	۳
Zn	۶۹	۵۵	۵۷	۵۱	۵۰	۳۶	۳۲	۵۳
Cr	۷	۹	۱۴	۶	۳	۷	۲	۵
La	۱۳	۱۷	۶۱	۱۴	۱۱	۲	۱	۱
Ce	۲۴	۳۵	۸۹	۳۲	۲۳	۳	۲	۲
Y	۷	۶	۲	۴	۳۵	۳۳	۲۹	۳۹
Cu	۲۵	۳۰	۴۰	۲۸	۳	۲	۲	۶
Pb	۶	۵	۴	۳	۱۴	۱۶	۱۲	۱۳
V	۱۶۳	۲۱۱	۲۶۷	۱۹۲	۶۰	۵۷	۱۵۸	۱۵۱
Th	۱	۱	۲	۱	۱	۱	۶	۴
As	۲۵	۷	۱۴	۴	۲۲	۳۱	۸۰	۶۴
Ba/La	۳۴,۷	۱۵	۲,۷	۲۲	۷۵,۸	۷۲۹	۸۰۷	۱۲۸۰
Nb/Y	۰,۵۷	۱	۱	۱,۷۵	۰,۰۶	۰,۳۰	۰,۶۹	۰,۳۱
Ba/Nb	۱۱۳	۴۲,۵۰	۸۲,۵۰	۴۴	۴۱۷	۱۴۶	۴۰,۳۵	۱۰۶
Zr/Y	۱۶,۱۴	۲۱,۱۷	۴۹,۰۰	۳۰,۷۵	۵,۵۷	۱۵,۲۷	۶,۱۴	۵,۶۷
Mg#	۴۵,۷۹	۴۲,۲۲	۳۸,۲۵	۴۲,۶۷	۴۵,۸۶	۲۶,۸۳	۱۹,۵۴	۲۰,۱۹

L.O.I: Loss of Ignition, Fe<sub>2</sub>O<sub>3</sub>\*: Fe<sub>2</sub>O<sub>3</sub> as a total Iron, Mg#:  $100 \times \frac{Mg}{Mg + Fe^{+2}}$

می‌شود. کانی‌های اصلی تشکیل‌دهنده این سنگ‌ها کوارتز، پلاژیوکلاز و فلدسپار قلیایی (ارتوكلاز) هستند و کانی‌های کدر، کانی‌های فرعی این گروه سنگی می‌باشند. کانی‌های ثانویه

در این نوع سنگ‌ها قطعات لیتیکی تا اندازه ۳ سانتی‌متر به صورت پراکنده در آنها مشاهده می‌شوند و دانه‌های سفید (کانی‌های فلدسپار) به اندازه ۱ تا ۲ میلی‌متر نیز به خوبی دیده

پورفیریتیک و قطعات لیتیکی زاویه‌داری از لایه‌های بالا و پایین می‌باشند. این سنگ‌ها در بعضی از رخنمون‌ها، حفره‌ای تا بادامکی هستند. اندازه حفره‌ها در این نمونه‌ها تا ۲ میلی‌متر می‌رسد و در بیشتر موارد این حفره‌ها به‌وسیله کانی‌های ثانویه کلریت، کلسیت و کوارتز پر شده‌اند.

کانی‌های اصلی آندزیت بازالت‌ها شامل پلازیوکلاز و کلینوپیروکسن (شکل ۳ الف) و کانی‌های فرعی شامل کانی‌های کدر و اکسیدهای آهن و کانی‌های ثانویه کوارتز (کلسدونی)، تامسونیت (در اثر پراش پرتو ایکس شناسایی شده است) و کلسیت می‌باشند. فنوکریست‌های این سنگ‌ها غالباً پلازیوکلاز و کلینوپیروکسن می‌باشند که در خمیره‌ای از میکرولیت‌های پلازیوکلاز، میکروبولرهای پیروکسن و اکسیدهای آهن قرار گرفته‌اند. پلازیوکلازها بیشترین فراوانی را دارند. کلینوپیروکسن در همه آندزیت بازالت‌ها حضور دارد ولی مقدار آن در نمونه‌های مختلف متفاوت می‌باشد. پلازیوکلازها خودشکل تا نیمه خودشکل می‌باشند و به دو صورت بلورهای درشت و میکرولیت دیده می‌شوند که بعضی از آنها زوینینگ نشان می‌دهند. کوارتزها ثانویه هستند و به صورت کلسدوئن به همراه کلریت حفرات موجود را پر کرده‌اند (شکل ۳ ب).

کلریت در سنگ‌های این گروه به همراه کوارتز به صورت اشکال اسفروولیتی، شعاعی، بادبزنی و رشته‌ای ظاهر می‌شود که در نمونه‌های حفره‌دار به همراه دیگر کانی‌های ثانویه حفرات موجود در سنگ را پر کرده است. کانی‌های کدر در این سنگ‌ها به صورت پراکنده و ریز در سراسر مقطع حضور دارند و غالباً بی‌شکل می‌باشند.

بافت‌های مشاهده شده در این سنگ‌ها شامل پورفیریتیک، گلومروپورفیریتیک، آمیگدالی، اسکلتی و فلتی (Fellty texture)، این بافت برای سنگ‌های آذرین تمام بلورین (هولوکریستالین) با میکرولیت‌هایی نامنظم (بدون سمت‌گیری خاص) که به صورت تنگاتنگ و فشرده درهم‌پیچیده‌اند، به کار می‌رود]. بافت فلتی (پیلوتاکسیتی) در سنگ‌های آندزیتی و برخی سنگ‌های بازالتی رایج است که در این دو نوع سنگ میکرولیت‌ها از نوع پلازیوکلاز می‌باشند [۹] می‌باشد (شکل ۳ الف، ب، پ، ت). بافت گلومروپورفیریتیک نشان-دهنده عدم تعادل در ماجمای تشکیل‌دهنده این سنگ‌ها می‌باشد [۱۰].

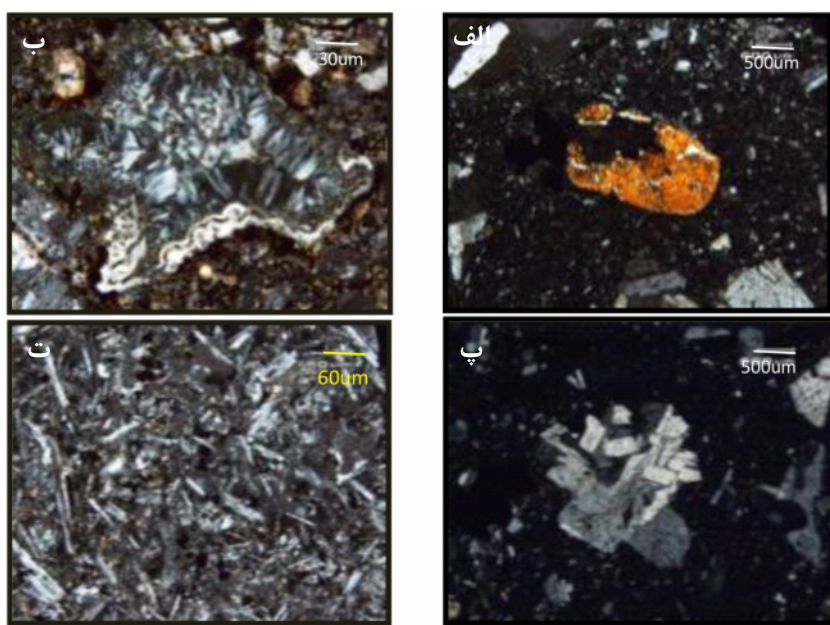
ubarternد از مونت موریلوبونیت، کلینوپتیلولیت و کلسیت. مونت موریلوبونیت و کلینوپتیلولیت به‌وسیله پرتو X (XRD) تشخیص داده شده‌اند. پلازیوکلازها به صورت خودشکل با بافت غربالی و منطقه‌بندی (شکل ۲ ب) دیده می‌شوند. این کانی‌ها یا کاملاً غربالی هستند یا در حاشیه و مرکزشان بافت غربالی دارند. کوارتز به صورت نواهایی در سنگ دیده می‌شوند و در زمینه سنگ نیز صورت نهان بلور تا ریز بلور تجدید تبلور یافته‌اند. کانی‌های کدر بصورت نیمه خودشکل تا بی‌شکل در زمینه سنگ پراکنده‌اند. کلسیت بصورت بی‌شکل در زمینه سنگ و در قالب کانی‌های دیگر قرار گرفته‌اند. بافت اصلی ایگنیمیریت‌های ریولیتی مورد بررسی اوتاکسیتیک است (شکل ۲ الف) و بافت‌های پورفیریتیک، غربالی و اسکلتی نیز در ریولیت‌ها مشاهده شده‌اند.

**ریوداسیت:** سنگ‌های با ترکیب ریوداسیت تا داسیت، در نمونه دستی رنگ خاکستری دارند. دانه‌های سفید (کانی‌های فلدسپار) بیشتر و فیام (نوار) کمتر نسبت به ریولیت دارند. نوارها غالباً از کوارتز تشکیل شده‌اند (شکل ۲ پ).

در این سنگ‌ها کانی‌های اصلی پلازیوکلاز و فلدسپار پتاسیم می‌باشند و کانی‌های فرعی شامل آمفیبول، بیوتیت، کوارتز، کانی‌های کدر و هماتیت و کانی‌های ثانویه شامل گوتیت، مونت موریلوبونیت (گوتیت و مونت موریلوبونیت به روش پراش پرتو ایکس شناسایی شده‌اند) و کلسیت‌اند. این نمونه‌ها در زیر میکروسکوپ غالباً زمینه مخفی بلور و در بعضی بخش‌ها تجدید تبلور یافته‌اند و فنوکریست‌ها در این زمینه پراکنده‌اند. پلازیوکلازها بصورت خودشکل تا نیمه خودشکل بوده و منطقه‌بندی ترکیبی و بافت غربالی از خود نشان می‌دهند (شکل ۲ ت و ث). این کانی‌ها تجزیه‌شده‌گی به کلسیت و سریسیت را نشان می‌دهند. بافت غربالی می‌تواند بر اثر اختلاط ماجمایی [۷] یا بر اثر کاهش فشار و صعود سریع به ماجما [۸] بوجود آید.

فلدسپار پتاسیم به صورت بلورهای خودشکل تا نیمه خودشکل با اندکی تجزیه‌شده‌گی می‌باشد. آمفیبول‌ها داری حاشیه سوخته می‌باشند، یا به عبارتی اپاسیتی شده‌اند و به اکسیدهای آهن و تیتانیم تبدیل شده‌اند (شکل ۲ ج).

**آندزیت بازالت:** در چندین نقطه در منطقه رخنمون‌های کوچکی از سنگ‌های آندزی بازالت مشاهده شد. این سنگ‌ها در نمونه دستی رنگ نسبتاً سیاه دارند و دارای ساخت آفانیتیک تا



شکل ۳ الف) پیروکسن در آندزیت بازالت (XPL)، و ب) بافت آمیگدالی (حفره‌ای) که با کلریت پر شده است (XPL)، پ) بافت گلومرپورفیریتیک (XPL) در آندزیت بازالت و ت) بافت فلتی (XPL) در آندزیت بازالت.

در اثر سیال‌های منطقه فرورانش و ورود Ba از رسوب‌های اقیانوسی فرورانده شده به مagma است [۱۶]. نمونه‌های آندزیت بازالتی در گستره‌ی بازالت‌های کمان قاره قرار می‌گیرند [۱۷] (شکل ۵ ب). میزان  $TiO_2$  یکی از معیارهای شناسایی محیط زمین‌ساختی گدازه‌هاست. در بازالت و آندزیت‌های مناطق کمان مقدار  $TiO_2$  به ندرت از  $1/3$  درصد وزنی فراتر می‌رود، این در حالی است که  $TiO_2$  در سنگ‌های سایر محیط‌ها زمین‌ساختی بیشتر از ده درصد وزنی است [۱۸]. اگر در گدازه‌ها نسبت  $Zr/Y > 3$  باشد به کمان‌های آتشفسانی قاره‌ای واپس است و اگر  $Zr/Y < 3$  باشد به کمان‌های آتشفسانی اقیانوسی تعلق دارند [۱۹]. این نسبت در نمونه‌های منطقه خیلی بالاست (جدول ۱) به طوریکه می‌توان نتیجه گرفت که به کمان‌های آتشفسانی قاره‌ای تعلق دارند. در نمودار  $Zr/Nb$  نمونه‌ها در محدوده فرورانش قرار می‌گیرند (شکل ۶ الف) [۲۰].

با توجه به عدد منیزیم پایین ( $Mg\# < 42.67$ ) در نمونه‌های آندزیت بازالت، ریولیتی و ریوداسیتی به نظر می‌رسد که مagma مولد این سنگ‌ها اولیه نبوده و یک magma تحول یافته است. عدد منیزیم در magma اولیه معمولاً بین ۷۵ تا ۶۸ می‌باشد [۹].

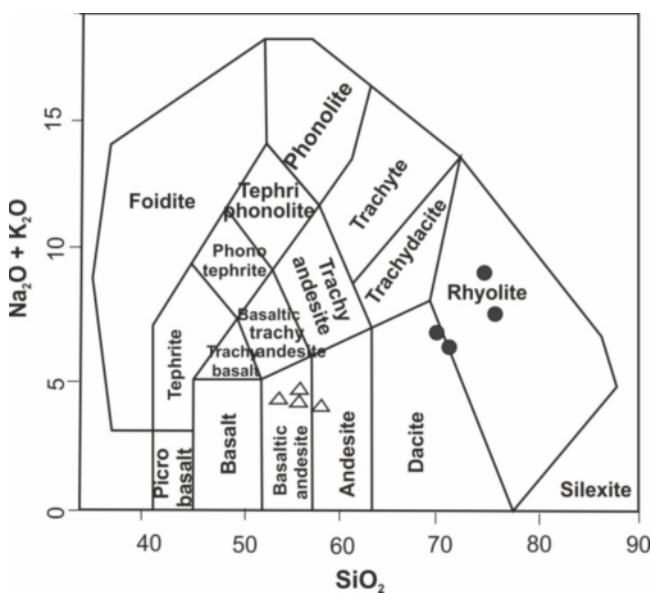
### ژئوشیمی

برطبق نمودار TAS از [۱۱] نمونه‌ها در محدوده ریولیت تا ریوداسیت و آندزیت‌بازالت قرار می‌گیرند (شکل ۴) و بر اساس نمودار  $K_2O/SiO_2$  در برابر  $O$  [۱۲] نمونه‌های آندزیت‌بازالتی در سری تولئیتی و نمونه‌های ریولیتی در گستره‌ی آهکی-قلیابی پتابسیم بالا قرار می‌گیرند (شکل ۵ الف).

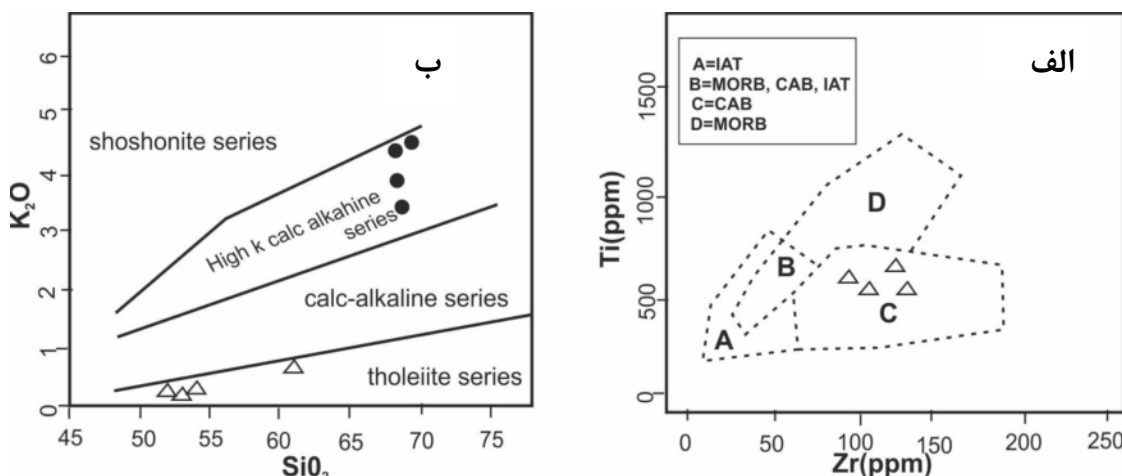
در سنگ‌های منطقه آندزیت‌بازالت، ریولیت و ریوداسیت نسبت  $Y/Nb$  پایین و نسبت‌های  $Ba/Nb$  و  $Ba/La$  بالاست که: نسبت پایین  $Y/Nb$  از  $0/32$  تا  $1/72$  از ویژگی‌های سنگ‌هایی است که در فوسمای مagma وابسته به فرورانش تشکیل می‌شوند [۱۳]. نمونه‌های منطقه‌ی مورد بررسی نسبت‌هایی از  $0/30$  تا  $1/75$  دارد.

مقادیر بالای نسبت  $Ba/Nb$  نیز بیشتر از  $28$  شاخص سنگ‌هایی است که در مناطق وابسته به فرورانش در حاشیه فعال قاره‌ای تشکیل می‌شوند [۱۴]. این نسبت در نمونه‌های NMORB مورد بررسی از  $40$  تا  $112$  است. این نسبت برای EMORB بین  $4$  تا  $10$ ، برای NMORB و بیشتر بازالت‌های درون صفحه‌ای  $10$  تا  $15$  و برای سنگ‌های آتشفسانی مرز صفحات همگرا بیش از  $15$  است [۱۵].

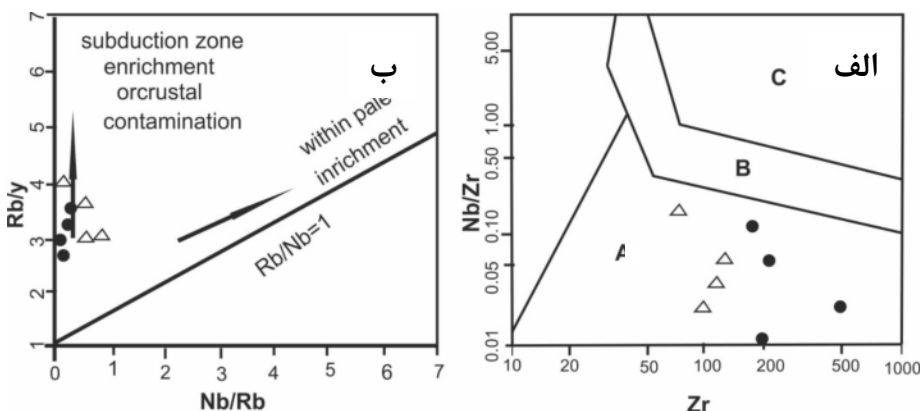
بالا بودن نسبت  $Ba/La$  علامت غنی‌شدگی گوه گوشه‌ای



شکل ۴ نمودار TAS از [۱۱]. نمونه‌ها در محدوده آندزی‌بازالت و ریولیت تا ریوداسیتی قرار می‌گیرند.



شکل ۵ (الف) نمودار  $\text{SiO}_2$  در برابر  $\text{K}_2\text{O}$  در [۱۰]، (ب)  $\text{Ti}(\text{ppm})$  در برابر  $\text{Zr}(\text{ppm})$  در [۱۱]. A = IAT؛ B = MORB، CAB، IAT؛ C = CAB؛ D = MORB = بازالت‌های جزایر قوسی؛ = بازالت‌های کمان قاره؛ WPB = بازالت‌های درون صفحه‌ای. نمونه‌های آندزیت بازالت در محدوده C یا بازالت‌های کمان قاره گرفته‌اند [۱۶]، مثلث؛ آندزیت بازالت و دایره سیاه؛ ریولیت و ریوداسیت.

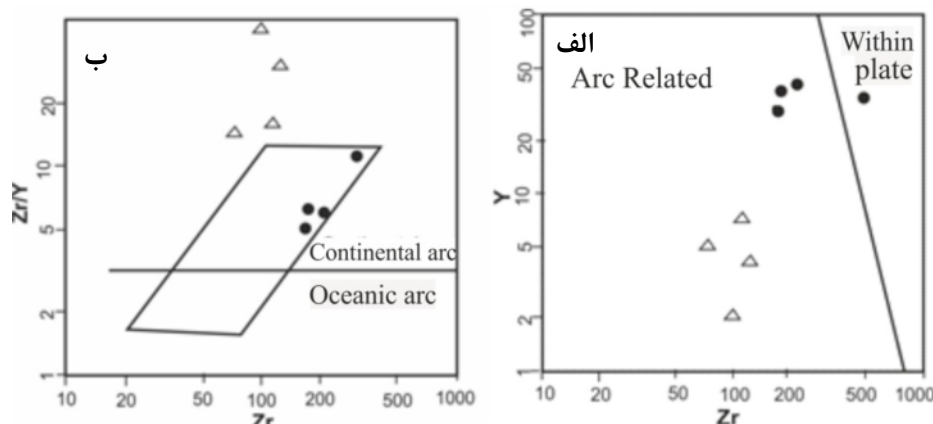


شکل ۶ (الف) نمودار [۱۹]: محدوده‌های A محیط فروراش، B، محیط برخورد و C سنگ‌های آلکالن درون صفحه‌ای را نشان می‌دهند. نمونه‌ها در محدوده محیط فروراش قرار می‌گیرند (ب) نمودار [۱۲]، نمونه‌ها در محدوده زون فروراش یا آلدگی پوسته‌ای قرار می‌گیرند.

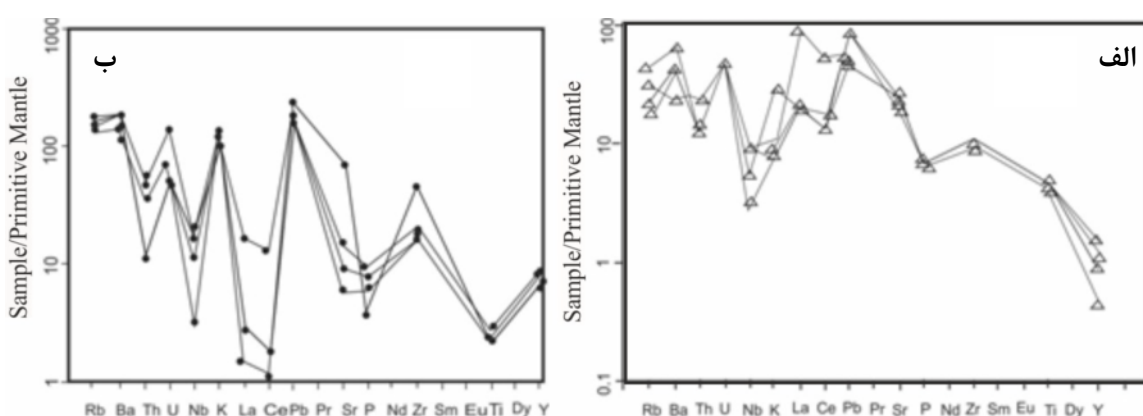
در نمودارهای عنکبوتی، سنجیده شده نسبت به گوشه اولیه، مشاهده می‌شود که عناصری همچون Rb و Ba بی‌هنجری مثبت و عنصر Nb بی‌هنجری منفی نشان می‌دهند (شکل ۸ الف و ب).

غنى‌شدگی در عناصر لیتوفیل درشت یون مانند Ba, Rb, K و بی‌هنجری منفی Nb از نشانه‌های فرورانش بوده [۲۴] و متاسوماتیزه شدن گوشه به وسیله‌ی فرآیند فرورانش را پیشنهاد می‌کند [۲۵]. بی‌هنجری منفی واضح Nb مشخصه ماقماهای مشتق شده از یک گوشه متاسوماتیسم شده در منطقه فرورانش است [۲۶]. بی‌هنجری منفی Ti و Nb که در نمونه‌های ریوداسیتی و ریولیتی دیده می‌شود (شکل ۸ ب) به عوامل گوناگونی نسبت داده می‌شود که عبارتند از: ۱- مشخصه مناطق مرتبط با فرآیند فرورانش [۲۷]. ۲- وجه مشخصه سنگ‌های پوسته قاره‌ای و شرکت پوسته در فرآیندهای ماقمایی [۲۷].

به منظور تعیین روند غنى‌شدگی عنصری سنگ‌های مورد بررسی در ارتباط با محیط زمین‌ساختی، از نمودار  $Nb/Rb$  در برابر  $Rb/Y$  استفاده شد [۱۲] (شکل ۶ ب). روندهای عمودی در این نمودار در نتیجه غنى‌شدگی در زون فرورانش یا آلوگی پوسته‌ای به وجود آمده است، بدین ترتیب میزان Rb در نسبت  $Y/Rb$  بالا می‌رود. در محیط‌های درون صفحه‌ای روند غنى‌شدگی متفاوت بوده و از روند  $Rb/Nb=1$  پیروی می‌کند [۲۱]. تغییرات Rb و Nb در هر سه نوع سنگ آذرین منطقه، حاصل غنى‌شدگی در زون فرورانش یا آلایش پوسته‌ای است. برای جدا کردن محیط‌های زمین‌ساختی درون صفحه‌ای از محیط وابسته به کمان از نمودار [۲۲] برای سنگ‌های اسیدی منطقه با پتاسیم بالا استفاده می‌شود (شکل ۷ الف). نمونه‌ها در محدوده حاشیه قاره‌ای و وابسته به کمان قرار می‌گیرند. از نمودار  $Zr/Y$  [۲۳] برای تفکیک قوس‌های ماقمایی قاره‌ای از قوس‌های ماقمایی اقیانوسی استفاده می‌شود. در این نمودار نمونه‌ها در محدوده قوس ماقمایی قاره‌ای قرار می‌گیرند (شکل ۷ ب).



شکل ۷ نمودارهای (الف) از [۲۲] نمونه‌ها مرتبط با کمان هستند؛ نمودار (ب) [۲۳] نمونه‌ها مرتبط با کمان قاره‌ای هستند.



شکل ۸ نمودار عنکبوتی عادی سازی شده با گوشه اولیه (الف) آندزیت بازالت، ب) ریولیت و ریوداسیت [۲۸].

و سیالات آبکی ناشی از لیتوسفر در حال فرورانش، بوجود آمده است.

بررسی ژئوشیمی عناصر کمیاب و نیز موقعیت زمانی و مکانی سنگ‌های منطقه حاکی از آن است که سنگ‌های یاد شده با مagma تیسم ناشی از فرورانش یک پوسته اقیانوسی به زیر صفحه ایران مرکزی همخوانی می‌نماید.

#### قدرتانی

پژوهش حاضر بخشی از رساله کارشناسی ارشد نویسنده اول است، که با پشتیبانی دانشگاه زنجان انجام شده است، لذا از معاونت پژوهشی دانشگاه زنجان به سبب حمایت مالی از این رساله سپاسگزاری می‌شود.

#### مراجع

- [1] Babakhani M., Sadeghi A., "Exploratory of Zanjan quadrangle Map", Geological Survey of Iran., (2004).
- [2] Moayed M., Valizadeh M., "Petrology and Petrogenesis of the Eocene-Oligocene magmatic band of Tarom region and geobarometric of intrusive bodies of the region", the fourth conference of the Iranian Geological Society, Tabriz (2000), 3p.
- [3] Yazdi A., Imami M.A., and Vossoughi Abedini, M., "Petrology study of Eocene volcanic rocks in Chal-Qal'eh-Badamstan area (Tarom-ulia-Zanjan province)", the 9th Earth conference of the Iranian Geological Society, University of Tarbiat-e-Modares (2005) 10 p.
- [4] Stocklin J., Eftekhar-nezhad J., "Exploratory text of Zanjan Quadrangle Map", G.S.I. ,(1969).
- [5] Hashemi M., Haji Abolfath A., "Determination of pyroclastic facies based on petrographic studies in the lower part of Karaj Formation, Zanjan", 29th Earth Science conference (2010), 7 pp.
- [6] Hashemi M., "Investigation of Magmatic Phases in the South of Zanjan (Sahleh)", 30th Earth Science conference (2011), 8 p.
- [7] Kuscu G.G. A., Hoyd P., "mineral compositional and textural evidence for magma mingling in the Saraykent volcanic", Lithos (2001), 56, 207-203.
- [8] Tscuchiyma A., "Dissolution kinetic of plagioclase in the melt of the system diopside-albite-anorthite, and origin of dusty plagioclase in andesit", contrib. mineral. Petrol (1985), 89 , 1-16.
- [9] Best M., "Igneous and metamorphic Petrology", Blackwell Publishing (2003). USA. 729p.

ایگنیمیریت‌های با ترکیب ریولیتی و سری ماگمایی آهکی-قلیایی بخصوص نوع پتاسیم بالای آن، از ویژگی‌های بارز مناطق کوهزایی بوده و اساساً در موقعیت‌های زمین‌ساختی کمان حاشیه قاره‌ای فعال و کمان‌های پس از برخورد مشاهده می‌شوند. بنابراین وجود نهشته‌های ایگنیمیریتی با ترکیب ریولیتی و ریوداسیتی در منطقه می‌تواند نشانگر یک کمان بالغ باشد [۲۶].

#### برداشت

در منطقه مورد بررسی ارتباط چینه‌شناسی لایه‌ها حاکی از آن است این توالی متعلق به ائوسن است. سنگ‌های آتشفشاری رسوبی مقطع سهله شامل سه دسته کلی رسوبی، آذرین و آذرآواری است. این مطالعه به بررسی سنگ‌های آذرین و آذرآواری پرداخته است. در این سنگ‌ها (آندزی‌بازالت، ریولیت و ریوداسیت) شواهدی از عدم تعادل نظری زوئینگ، بافت غربالی، بافت گلومروپورفیریتیک، حاشیه خلیجی در کوارتزها و اپاسیتی شدن بلورهای بیوتیت و هورنبلند دیده می‌شوند. اگرچه نمودارهای تغییرات عناصر اصلی در برابر  $\text{SiO}_2$  حاکی از نقش اساسی تفریق بلوری در تحول مagma‌ای سازنده این مجموعه آتشفشاری است، اما شواهد میکروسکوپی و ژئوشیمیابی دال بر نقش فرآیندهای دیگر (فرآیندهایی که منجر به غربالی شدن پلاژیوکلازها، اپاسیتی شدن آمفیبول و ... شده است) در شکل‌گیری این سنگ‌ها نیز وجود دارند. عدد منیزیم پایین و مقادیر پایین Cr, MgO و Ni در نمونه‌ها نشان‌دهنده یک magma‌ای تحول یافته می‌باشد.

مقادیر  $\text{TiO}_2$  پایین و مقدار  $\text{Zr}/\text{Y}$  بیشتر از ۳ نشان دهنده شباهت magma‌ای تشکیل دهنده سنگ‌ها با magma‌ای کمان‌های قاره‌ای است. نسبت پایین  $\text{Y}/\text{Nb}$  و نسبت‌های بالای  $\text{Ba}/\text{Nb}$  و  $\text{Ba}/\text{La}$  از ویژگی‌های سنگ‌هایی است که در قوس-های magma‌ای وابسته به فرورانش تشکیل می‌شوند. غنی‌شدنگی از عناصر لیتوفیل درشت یون (LILE) نسبت به (HFSE) نسبت به  $\text{Nb}/\text{Ti}$ ,  $\text{Rb}/\text{P}$ ,  $\text{Nb}/\text{Ti}$ ,  $\text{Nb}/\text{P}$  از ویژگی‌های بارز مagma‌ای وابسته به فرورانش و نشان‌دهنده نقش سیالات آزاد شده از منطقه فرورانده در غنی‌سازی این عناصر در magma‌است. براساس نمودارهای تعیین محیط زمین‌ساختی، نمودارهای عنکبوتی و برخی شواهد یاد شده دیگر، magma‌ای مولد سنگ‌های منطقه احتمالاً مرتبط با محیط فرورانش و از نوع حاشیه قاره‌ای است که از یک گوه گوشه‌ای غنی شده به-

- volcanic rocks", Contributions to Mineralogy and Petrology (1979), 69: 33–47.*
- [20] Thieblemont D., Tegyey M., "Une discrimination geochemique des roches differentiees temoni de la diversite d origine et de situation tectonique des magmas calco-alkalins", Comptes Rendus de l'Academie des Sciences Paris (1994), 319: 87-94.
- [21] Edwards C., Menzies M., Thirwall, M., "Evidence from Muriah, Indonesia, for the interplay of supra-subduction zone and intraplate processes in the genesis of potassic alkaline magmas", Journal of petrology (1991), 32:555-592.
- [22] Muller D., Groves D.I., "potassic igneous rocks and associated gold-copper mineralization", Springer-Verlag Berlin Heidelberg (1997), 242.
- [23] Pearce J.A., "Role of the sub-continental lithosphere in magma genesis at active continental margins. In: Hawkesworth, C.J., Norry, M.J.(Eds.), Hawkesworth C.J., Norry M.J. Nantwich", Shiva (1983). P. 230–249.
- [24] Jahangiri A., "Post-collisional Miocene adakitic volcanism in NW Iran: Geochemical and geodynamic implications", Journal of Asian Earth Sciences (2007), 30, 3-4, 433-447pp.
- [25] Naumov V. B., Tolstykh M. L., Grib E.N., Leonov V.L., Kononkova N.N., "chemical composition volatile component, and trace element of the karymskii volcanic center, Kamchaka, and Golovnina volcano, Kunashir Island: Evidence from Iclusion in Minerals", petrologia (2008), 16 3-20 pp.
- [26] Wilson M., "Igneous petrogenesis: A global tectonic approach", Unwin Hyman London (1989), 466p.
- [27] Kuster D., Harms U., "Post-collisional potassic granitoids from the southern and northwestern parts of the Late Neoproterozoic East African Orogen", a review, Lithos (1998). 45: 177-195.
- [28] Sun S.S., McDonough W.F., "Chemical and isotopic systematics of oceanic basalts: implications for mantle composition and processes. In: Saunders A. D.; Norry M. J. (eds), Magmatism in the ocean Basins", Geological Society of London Special Publication (1989). 42, 313-345.
- [10] Singer S.B.A., Dungan M., Layne D.G., "textures and Sr, Ba, MG, Fe, K, and Ti compositional profiles in volcanic plagioclase: Clues to the dynamics of calc-alkaline magma chambers", American, Mineralogist. 80 (1995) 776-798.
- [11] Middlemost E.A.K., "Naming Materials in the Magma /Igneous Rock System", Earth -Science Reviews, 37 (1994) 215- 244.
- [12] Peccerillo R., Taylor S.R., "Geochemistry of Eocene calc-alkaline volcanic rocks from Kastamonu area, northern Turkey", Contributions to mineralogy and petrology 58 (1976) 63-81.
- [13] Temel A., Gundogdu M.N., Gourgaud A., "Petrological and geochemical characteristics of Cenozoic high-K calc-alkaline volcanism in Konya, Central Anatolia", Turkey, Journal of Volcanology and Geothermal Research (1998), 85:327-354.
- [14] Fitton J.G., James D., Kempton P.D., Ormerod D.S., Leeman W.P., "The role of lithospheric mantle in the generation of Late Cenozoic basic magmas in the western United States", Journal of Petrology. Special Lithosphere Issue (1988), 331–349.
- [15] Wood D. A., "The application of a Th–Hf–Ta diagram to problems of tectonomagmatic classification and to establishing the nature of crustal contamination of basaltic lavas of the British Tertiary volcanic province", Earth and Planetary Science Letters (1980), 50, 11–30.
- [16] Hole M.J., Saunders A.D., Marriner G.F., Tarney J., "subduction of pelagic sediments: implication for the origin of Ceanomalous basalts from Alexander Islands", Journal of Geological Society of London (1984) 141: 453-472.
- [17] Pearce J.A., Cann J.R., "Tectonic setting of basic volcanic rocks determined using trace element analyses", Earth and Planetary Science Letters 19 (1973) 290-300.
- [18] Macdonald R., Rogers N. W., Fitton J. G., Black S., Smith M., "Plume–lithosphere interactions in the generation of the basalts of the Kenya rift, East Africa", Journal of Petrology (2001), 42, 877–900.
- [19] Pearce J.A., Norry M.J., "Petrogenetic implication of Ti , Zr, Y and Nb variations in